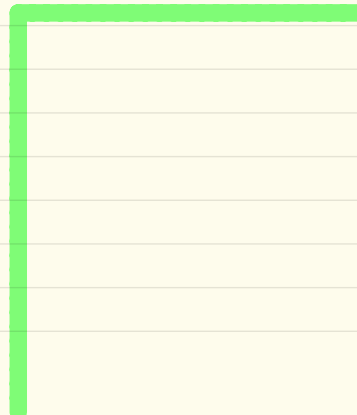


بِسْمِ اللّٰهِ الرَّحْمٰنِ الرَّحِیْمِ

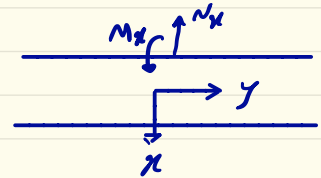
موارد مرکب

جلد ۲۵



مسال: ورق استوانه ای بادگلیه ناه ساره

شرایط مرزی:



$$N_{xx} = 0, w_0 = 0, M_{xx} = 0$$

Table 4.4.1: Boundary conditions in the classical (CLPT) and first-order shear deformation (FSDT) theories of beams and plate strips. The boundary conditions on u_0 and v_0 are only for laminated strips in cylindrical bending.

Edge Condition	CLPT		FSDT	
<p>free</p>	$N_{xx} = 0$	$N_{xy} = 0$	$N_{xx} = 0$	$N_{xy} = 0$
	$M_{xx} = 0$	$\frac{dM_{xx}}{dx} = 0$	$M_{xx} = 0$	$Q_x = 0$
<p>roller</p>	$w_0 = 0$	$\frac{dv_0}{dx} = 0$	$w_0 = 0$	$\frac{dv_0}{dx} = 0$
	$N_{xx} = 0$	$M_{xx} = 0$	$N_{xx} = 0$	$M_{xx} = 0$
<p>simple support</p>	$u_0 = 0$	$w_0 = 0$	$u_0 = 0$	$w_0 = 0$
	$\frac{dv_0}{dx} = 0$	$M_{xx} = 0$	$\frac{dv_0}{dx} = 0$	$M_{xx} = 0$
<p>clamped</p>	$u_0 = 0$	$v_0 = 0$	$u_0 = 0$	$v_0 = 0$
	$w_0 = 0$	$\frac{dw_0}{dx} = 0$	$w_0 = 0$	$\phi_x = 0$

$$N_{xx} = A_{11} \frac{du_0}{dx} + A_{16} \frac{dv_0}{dx} - B_{11} \frac{d^2 w_0}{dx^2} - N_{xx}^T$$

$$N_{yy} = A_{12} \frac{du_0}{dx} + A_{26} \frac{dv_0}{dx} - B_{12} \frac{d^2 w_0}{dx^2} - N_{yy}^T$$

$$N_{xy} = A_{16} \frac{du_0}{dx} + A_{66} \frac{dv_0}{dx} - B_{16} \frac{d^2 w_0}{dx^2} - N_{xy}^T$$

$$M_{xx} = B_{11} \frac{du_0}{dx} + B_{16} \frac{dv_0}{dx} - D_{11} \frac{d^2 w_0}{dx^2} - M_{xx}^T$$

$$M_{yy} = B_{12} \frac{du_0}{dx} + B_{26} \frac{dv_0}{dx} - D_{12} \frac{d^2 w_0}{dx^2} - M_{yy}^T$$

$$M_{xy} = B_{16} \frac{du_0}{dx} + B_{66} \frac{dv_0}{dx} - D_{16} \frac{d^2 w_0}{dx^2} - M_{xy}^T$$

$$\Rightarrow u_0(x) = \frac{B}{AD} \frac{q_0 a^3}{12} \left[2 \left(\frac{x}{a} \right)^3 - 3 \left(\frac{x}{a} \right)^2 \right] + \hat{N}_{xx}^T x + a_3$$

$$v_0(x) = \frac{C}{AD} \frac{q_0 a^3}{12} \left[2 \left(\frac{x}{a} \right)^3 - 3 \left(\frac{x}{a} \right)^2 \right] + b_3$$

$$w_0(x) = \frac{q_0 a^4}{24D} \left[\left(\frac{x}{a} \right)^4 - 2 \left(\frac{x}{a} \right)^3 + \left(\frac{x}{a} \right) \right] + \frac{\hat{M}_{xx}^T a^2}{2} \left[\left(\frac{x}{a} \right)^2 - \left(\frac{x}{a} \right) \right]$$

$$w_{max} = \frac{5q_0 a^4}{384D} - \frac{\hat{M}_{xx}^T a^2}{8}$$

برای مطالعه بیشتر می توان نوشت

$$\frac{1}{D} = \frac{1}{D_{11}} \left(\frac{D_{11}}{D} \right) = \frac{1}{D_{11}} \left(\frac{D + B_{11}\bar{B} + B_{16}\bar{C}}{D} \right)$$

⇒

$$w_{max} = \frac{5q_0 a^4}{384D_{11}} \left(1 + \frac{\overbrace{B_{11}\bar{B} + B_{16}\bar{C}}^{\text{هواره مثبت}}}{D} \right) - \frac{\hat{M}_{xx}^T a^2}{8}$$

① برای لاینی متقارن ($B=0$)
(کوتوله)

$$w_{max} = \frac{5q_0 a^4}{384D_{11}} - \frac{\hat{M}_{xx}^T a^2}{8}$$

② برای لاینی باد متقارن و Cross-ply

$$\left(\right)_{16} = \left(\right)_{26} = 0$$

$$\bar{B} = B_{11}/A_{11}, \bar{C} = 0, \text{ and } D = D_{11} - B_{11}^2/A_{11}$$

$$w_{max} = -\frac{5q_0 a^4}{384D_{11}} \left(1 + \frac{B_{11}^2}{A_{11}D_{11} - B_{11}^2} \right) - \frac{\hat{M}_{xx}^T a^2}{8}$$

Antisymmetric angle- γ

(۳)

$$A_{16} = A_{26} = B_{11} = B_{22} = B_{12} = B_{66} = D_{16} = D_{26} = 0, \bar{B} = 0, \bar{C} = B_{16}/A_{66}, \text{ and } D = D_{11} - B_{16}^2/\hat{A}_{66}$$

$$w_{max} = \frac{5q_0a^4}{384D_{11}} \left(1 + \frac{B_{16}^2}{A_{66}D_{11} - B_{16}^2} \right) - \frac{\hat{M}_{xx}^T a^2}{8}$$

دید می شود وقتی $[B]=0$ باشد معادلات خیز بران تیر و ورق استوانه ای یکسان می باشد
با این تفاوت که سختی خمشی این دو با هم فرق دارد:

$$D_{11} = \frac{E_{xx}^b h^3}{12(1 - \nu_{xy}^b \nu_{yx}^b)} = \frac{E_{xx}^b h^3}{12[1 - (\nu_{xy}^b)^2 (E_{xx}^b/E_{yy}^b)]}$$

ورق استوانه ای

$$E_{xx}^b I_{yy} = E_{xx}^b b h^3 / 12$$

تیر

6-4-3 Buckling

کمانش در محادلات ورق استوانه‌ای CLPT (6.4-3)،

فرد در زمال فشار قرار دهم $\hat{N}_x = -N_x^0$ و کم ایزی درون صفحه‌ای I با $\frac{\partial^2 v_0}{\partial t^2}$ و $\frac{\partial^2 u_0}{\partial t^2}$ را
را صفر قرار می‌دهم و عبارت را نیز در نظر نمی‌گیریم.

$$\begin{aligned} A \frac{d^2 U}{dx^2} &= B \frac{d^3 W}{dx^3} \\ A \frac{d^2 V}{dx^2} &= C \frac{d^3 W}{dx^3} \\ D \frac{d^4 W}{dx^4} &= -N_{xx}^0 \frac{d^2 W}{dx^2} \end{aligned}$$

کمانش ورق استوانه‌ای
CLPT

(6.4-9)

فقط از محادله سوم داریم

$$D \frac{d^2 W}{dx^2} + N_{xx}^0 W = K_1 x + K_2$$

(6.4-10)

که جواب عمومی آن برای صورت است

$$W(x) = c_1 \sin \lambda x + c_2 \cos \lambda x + c_3 x + c_4$$

(6.4-11)

که در آن

$$c_3 = K_1 / \lambda^2, c_4 = K_2 / \lambda^2$$

$$\lambda^2 = \frac{N_{xx}^0}{D} \text{ or } N_{xx}^0 = D \lambda^2$$

(6.4-12)

When the plate strip is simply supported at $x = 0, a$, from Eq. (4.4.15a) we have

$$W = 0, \quad \frac{dU}{dx} = 0, \quad \frac{dV}{dx} = 0, \quad \frac{d^2W}{dx^2} = 0$$

Use of the boundary conditions on W gives $c_2 = c_3 = c_4 = 0$ and the result

$$\sin \lambda a \equiv \sin\left(\sqrt{\frac{N_{xx}^0}{D}}\right) = 0, \quad \text{or} \quad N_{xx}^0 = D \left(\frac{n\pi}{a}\right)^2$$

The critical buckling load N_{cr} is given by ($n = 1$)

$$N_{cr} = D_{11} \frac{\pi^2}{a^2} \left(1 - \frac{B_{11}\bar{B} + B_{16}\bar{C}}{D_{11}A}\right)$$

Thus the effect of the bending-extensional coupling is to decrease the critical buckling load.

Recall from Section 4.2.3 that when both edges are clamped, λ is determined by solving the equation

$$\lambda a \sin \lambda a + 2 \cos \lambda a - 2 = 0$$

The smallest root of this equation is $\lambda = 2\pi$, and the critical buckling load becomes

$$N_{cr} = D_{11} \frac{4\pi^2}{a^2} \left(1 - \frac{B_{11}\bar{B} + B_{16}\bar{C}}{D_{11}A}\right)$$

6.4-4 Vibration

کافی است در محادلات کلی درن استوانه ای نیروهای درون صفحه ای، مانند حرارت و بارگذاردن عرضی را حذف کنیم.

$$D \frac{\partial^4 w_0}{\partial x^4} = \bar{I}_2 \frac{\partial^4 w_0}{\partial x^2 \partial t^2} - I_0 \frac{\partial^2 w_0}{\partial t^2} + \hat{N}_{xx} \frac{\partial^2 w_0}{\partial x^2}$$

(6.4-13)

$$\bar{I}_2 = I_2 - \bar{B}I_1$$

$$w_0(x, t) = W(x)e^{i\omega t}, \quad i = \sqrt{-1}$$

سین قرار می دهیم
(6.4-14)

$$\rightarrow D \frac{d^4 W}{dx^4} - \hat{N}_{xx} \frac{d^2 W}{dx^2} = I_0 \omega^2 W - \bar{I}_2 \omega^2 \frac{d^2 W}{dx^2}$$

(6.4-15)

حواشی این معادله :

$$W(x) = c_1 \sin \lambda x + c_2 \cos \lambda x + c_3 \sinh \mu x + c_4 \cosh \mu x$$

(6.4-16)

که در آن

$$\lambda = \sqrt{\frac{1}{2p} \left(q + \sqrt{q^2 + 4pr} \right)}, \quad \mu = \sqrt{\frac{1}{2p} \left(-q + \sqrt{q^2 + 4pr} \right)}$$

(6.4-17)

$$p = D, \quad q = \bar{I}_2 \omega^2 - \hat{N}_{xx}, \quad r = I_0 \omega^2$$

اگر نیروی درون صغیر باشد

$$\omega^2 = \lambda^4 \frac{D}{I_0} \left(1 - \frac{I_2 \lambda^2}{I_0 + I_2 \lambda^2} \right)$$

(6.4-18)

اگر از اینرسی دورانی نیز صرف نظر کنیم داریم:

$$\omega = \lambda^2 \sqrt{\frac{D}{I_0}}$$

(6.4-17)

For a simply supported plate strip, λ_n is given by $\lambda_n = \frac{n\pi}{a}$ and from Eq. (4.4.42) it follows that

$$\omega_n = \left(\frac{n\pi}{a}\right)^2 \sqrt{\frac{D}{I_0}} \sqrt{\frac{1}{1 + \left(\frac{n\pi}{a}\right)^2 (\bar{I}_2/I_0)}} \quad (4.4.44)$$

Note that the rotary inertia has the effect of decreasing the natural frequency. When the rotary inertia is zero, we have

$$\omega_n = \left(\frac{n\pi}{a}\right)^2 \sqrt{\frac{D}{I_0}} \quad (4.4.45)$$

For a plate strip clamped at both ends, λ must be determined from [see Eqs. (4.2.56)–(4.2.60)]

$$-2 + 2 \cos \lambda a \cosh \mu a + \left(\frac{\lambda}{\mu} - \frac{\mu}{\lambda}\right) \sin \lambda a \sinh \mu a = 0 \quad (4.4.46)$$

For natural vibration without rotary inertia, Eq. (4.4.46) takes the simpler form

$$\cos \lambda a \cosh \lambda a - 1 = 0 \quad (4.4.47)$$

The roots of Eq. (4.4.47) are

$$\lambda_1 a = 4.730, \quad \lambda_2 a = 7.853, \quad \lambda_3 a = 10.996, \quad \dots, \quad \lambda_n a \approx \left(n + \frac{1}{2}\right)\pi \quad (4.4.48)$$

6.5 cylindrical Bending Using FSDT

6.5-1 Governing Equations

برای یافتن معادلات حاکم ورق استوانه‌ای FSDT، فرضیه در معادلات کلی با استفاده از روش رانگ-کرامر داریم:

$$A_{11} \frac{\partial^2 u_0}{\partial x^2} + A_{16} \frac{\partial^2 v_0}{\partial x^2} + B_{11} \frac{\partial^2 \phi_x}{\partial x^2} + B_{16} \frac{\partial^2 \phi_y}{\partial x^2} - \frac{\partial N_{xx}^T}{\partial x} = I_0 \frac{\partial^2 u_0}{\partial t^2} + I_1 \frac{\partial^2 \phi_x}{\partial t^2} \quad a$$

$$A_{16} \frac{\partial^2 u_0}{\partial x^2} + A_{66} \frac{\partial^2 v_0}{\partial x^2} + B_{16} \frac{\partial^2 \phi_x}{\partial x^2} + B_{66} \frac{\partial^2 \phi_y}{\partial x^2} - \frac{\partial N_{xy}^T}{\partial x} = I_0 \frac{\partial^2 v_0}{\partial t^2} + I_1 \frac{\partial^2 \phi_y}{\partial t^2} \quad b$$

$$B_{11} \frac{\partial^2 u_0}{\partial x^2} + B_{16} \frac{\partial^2 v_0}{\partial x^2} + D_{11} \frac{\partial^2 \phi_x}{\partial x^2} + D_{16} \frac{\partial^2 \phi_y}{\partial x^2} - K A_{55} \left(\frac{\partial w_0}{\partial x} + \phi_x \right) - K A_{45} \phi_y - \frac{\partial M_{xx}^T}{\partial x} = I_2 \frac{\partial^2 \phi_x}{\partial t^2} + I_1 \frac{\partial^2 u_0}{\partial t^2} \quad c$$

$$B_{16} \frac{\partial^2 u_0}{\partial x^2} + B_{66} \frac{\partial^2 v_0}{\partial x^2} + D_{16} \frac{\partial^2 \phi_x}{\partial x^2} + D_{66} \frac{\partial^2 \phi_y}{\partial x^2} - K A_{44} \phi_y - K A_{45} \left(\frac{\partial w_0}{\partial x} + \phi_x \right) - \frac{\partial M_{xy}^T}{\partial x} = I_2 \frac{\partial^2 \phi_y}{\partial t^2} + I_1 \frac{\partial^2 v_0}{\partial t^2} \quad d$$

$$K A_{55} \left(\frac{\partial^2 w_0}{\partial x^2} + \frac{\partial \phi_x}{\partial x} \right) + K A_{45} \frac{\partial \phi_y}{\partial x} + \frac{\partial}{\partial x} \left(N_{xx} \frac{\partial w_0}{\partial x} \right) + q = I_0 \frac{\partial^2 w_0}{\partial t^2} \quad e$$

معادلات کلی ورق استوانه‌ای FSDT

(6.5-1)

با فرض $\phi = 0$ در صفتگر کردن از ایزری های درون صفا ای ($I_0 = 0$ یا $\frac{\partial^2 u_0}{\partial t^2} = \frac{\partial^2 v_0}{\partial t^2} = 0$) همچنین در نهایت اثرات حرارتی داریم:

$$A_{11} \frac{\partial^2 u_0}{\partial x^2} + A_{16} \frac{\partial^2 v_0}{\partial x^2} + B_{11} \frac{\partial^2 \phi_x}{\partial x^2} = I_1 \frac{\partial^2 \phi_x}{\partial t^2}$$

$$A_{16} \frac{\partial^2 u_0}{\partial x^2} + A_{66} \frac{\partial^2 v_0}{\partial x^2} + B_{16} \frac{\partial^2 \phi_x}{\partial x^2} = 0$$

$$B_{11} \frac{\partial^2 u_0}{\partial x^2} + B_{16} \frac{\partial^2 v_0}{\partial x^2} + D_{11} \frac{\partial^2 \phi_x}{\partial x^2} - K A_{55} \left(\frac{\partial w_0}{\partial x} + \phi_x \right) = I_2 \frac{\partial^2 \phi_x}{\partial t^2}$$

$$K A_{55} \left(\frac{\partial^2 w_0}{\partial x^2} + \frac{\partial \phi_x}{\partial x} \right) + \frac{\partial}{\partial x} \left(N_{xx} \frac{\partial w_0}{\partial x} \right) + q = I_0 \frac{\partial^2 w_0}{\partial t^2}$$

(6.5-2)

معادلات حاکم ورق
استوانه ای FSDT

با حذف w_0 از چهار معادله فوق داریم:

$$K A_{55} \left(\frac{\partial^2 w_0}{\partial x^2} + \frac{\partial \phi_x}{\partial x} \right) + \hat{N}_{xx} \frac{\partial^2 w_0}{\partial x^2} + q = I_0 \frac{\partial^2 w_0}{\partial t^2}$$

$$D \frac{\partial^2 \phi_x}{\partial x^2} - K A_{55} \left(\frac{\partial w_0}{\partial x} + \phi_x \right) = I_2 \frac{\partial^2 \phi_x}{\partial t^2}$$

(6.5-3)

6.5-2 Bending

6.5-3 =>

$$K A_{55} \left(\frac{d^2 w_0}{dx^2} + \frac{d\phi_x}{dx} \right) + q = 0$$
$$D \frac{d^2 \phi_x}{dx^2} - K A_{55} \left(\frac{dw_0}{dx} + \phi_x \right) = 0$$

(6.5-4) خمینی درق استوانه‌ای
FSDT

حل عمومی این معادلات خمینی خواهد بود

$$\phi_x(x) = \frac{1}{D} \left[- \int_0^x \int_0^\xi \int_0^\eta q(\zeta) d\zeta d\eta d\xi + c_1 \frac{x^2}{2} + c_2 x + c_3 \right] \quad (6.5-5)$$

$$w_0(x) = - \frac{1}{D} \left[- \int_0^x \int_0^\xi \int_0^\eta \int_0^\mu q(\zeta) d\zeta d\mu d\eta d\xi + c_1 \frac{x^3}{6} + c_2 \frac{x^2}{2} + c_3 x + c_4 \right]$$
$$+ \frac{1}{K A_{55}} \left[- \int_0^x \int_0^\xi q(\zeta) d\zeta d\xi + c_1 x \right] \quad (6.5-6)$$

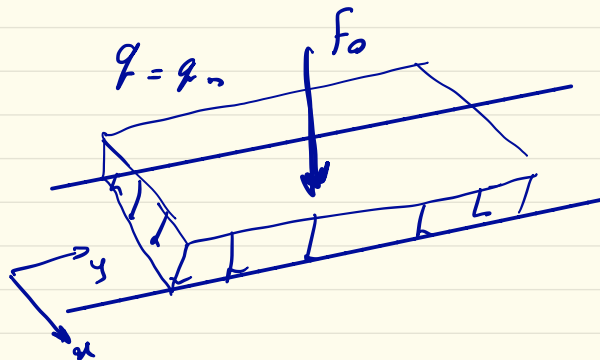
مثال: ورق استوانه‌ای باد لبه کتلیه ناه ساده. بارگذاری $q=q_0$ ثابت، و بار نقطه‌ای $F=F_0$ در مرکز ورق.

$$\phi_x(x) = -\frac{q_0 a^3}{24D} \left[4 \left(\frac{x}{a} \right)^3 - 6 \left(\frac{x}{a} \right)^2 + 1 \right] + \frac{F_0 a^2}{16D} \left[1 - 4 \left(\frac{x}{a} \right)^2 \right]$$

$$w_0(x) = \frac{q_0 a^4}{24D} \left[\left(\frac{x}{a} \right)^4 - 2 \left(\frac{x}{a} \right)^3 + \left(\frac{x}{a} \right) \right] + \frac{q_0 a^2}{2K A_{55}} \left[\left(\frac{x}{a} \right) - \left(\frac{x}{a} \right)^2 \right] \\ + \frac{F_0 a^3}{48D} \left[3 \left(\frac{x}{a} \right) - 4 \left(\frac{x}{a} \right)^3 \right] + \frac{F_0 a}{2K A_{55}} \left(\frac{x}{a} \right)$$

The maximum deflection occurs at $x = a/2$ and it is given by

$$w_{max} = \left(\frac{5q_0 a^4}{384D} + \frac{q_0 a^2}{8K A_{55}} + \frac{F_0 a^3}{48D} + \frac{F_0 a}{4K A_{55}} \right)$$



مثال: ورق استوانه‌ای بادونیکه سماه کیدار و همان شرایط بارگذاری
 $q = q_0$, $F = F_0$

$$\phi_x(x) = -\frac{q_0 a^3}{12D} \left[2 \left(\frac{x}{a} \right)^3 - 3 \left(\frac{x}{a} \right)^2 + \left(\frac{x}{a} \right) \right]$$

$$- \frac{F_0 a^2}{8D} \left[2 \left(\frac{x}{a} \right)^2 - \left(\frac{x}{a} \right) \right]$$

$$w_0(x) = \frac{q_0 a^4}{24D} \left[\left(\frac{x}{a} \right)^2 - \left(\frac{x}{a} \right) \right]^2 + \frac{q_0 a^2}{2KA_{55}} \left[\left(\frac{x}{a} \right) - \left(\frac{x}{a} \right)^2 \right]$$

$$+ \frac{F_0 a^3}{48D} \left[3 \left(\frac{x}{a} \right)^2 - 4 \left(\frac{x}{a} \right)^3 \right] + \frac{F_0 a}{2KA_{55}} \left(\frac{x}{a} \right)$$

$$\tau_{xz} = \frac{Q_x}{A}$$

$$K = \frac{U^c}{U^{FSPT}}$$

The maximum deflection is given by

$$w_{max} = \left(\frac{q_0 a^4}{384D} + \frac{q_0 a^2}{8KA_{55}} + \frac{F_0 a^3}{192D} + \frac{F_0 a}{4KA_{55}} \right)$$

تعیین K ضریب اصلاح برقی، هنوز صالحه ای است که حل نشده است. در
 مقالات برای شرایط مختلف K را تعیین کرده‌اند. بیشتر اوقات $K = 5/6$ برای
 ورق ایردورد و هلمن در نظر گرفته می‌شود.
 در کل K به لایه چینی، هندی و جنس ماده بستگی دارد.

6.5.3 Buckling

با قراردادن $q = 0$, $\hat{N}_{xx} = -N_{xx}^0$, and $I_0 = I_2 = 0$ در معادله (6.5-3) معادلات حاکم کانتی بدست می آید

$$K A_{55} \left(\frac{d^2 W}{dx^2} + \frac{d\mathcal{X}}{dx} \right) + \hat{N}_{xx} \frac{d^2 W}{dx^2} = 0$$

$$D \frac{d^2 \mathcal{X}}{dx^2} - K A_{55} \left(\frac{dW}{dx} + \mathcal{X} \right) = 0$$

کانتی ورق استوانه ای
FSDT (6.5-7)

$$\Rightarrow \frac{d\mathcal{X}}{dx} = - \left(1 - \frac{N_{xx}^0}{K A_{55}} \right) \frac{d^2 W}{dx^2} \quad (6.5-8)$$

$$\Rightarrow \mathcal{X}(x) = - \left(1 - \frac{N_{xx}^0}{K A_{55}} \right) \frac{dW}{dx} + K_1 \quad (6.5-9)$$

$$\Rightarrow D \left(1 - \frac{N_{xx}^0}{K A_{55}} \right) \frac{d^4 W}{dx^4} + N_{xx}^0 \frac{d^2 W}{dx^2} = 0$$

(6.5-10)

حواب معادله فوق

$$W(x) = c_1 \sin \lambda x + c_2 \cos \lambda x + c_3 x + c_4$$

(6.5-11)

$$\lambda^2 = \frac{N_{xx}^0}{\left(1 - \frac{N_{xx}^0}{KA_{55}}\right) D} \quad \text{or} \quad N_{xx}^0 = \frac{\lambda^2 D}{\left(1 + \frac{\lambda^2 D}{KA_{55}}\right)}$$

(6.5-12)

مثال: ورق استوانه‌ای بادکوبه‌گاه ساده

$$N_{cr} = \left(\frac{\pi}{a}\right)^2 D \left[1 - \frac{D \left(\frac{\pi}{a}\right)^2}{KA_{55} + D \left(\frac{\pi}{a}\right)^2}\right]$$

دیدیم می‌شود که در تئوری FSDT باد رفتار کرنشی اثر تغییر شکل برشی نامحسوس نیروی بجزمانگانی را داریم.

به عبارت دیگر در تئوری کلاسیک ورق سفتی بیشتری نسبت به واقعیت دارد (FSDT).

مثال: ورق استوانه‌ای بادکوبه‌گاه گردار

$$2(\cos \lambda a - 1) \left(1 + \frac{\lambda^2 D}{KA_{55}}\right) + \lambda a \sin \lambda a = 0$$

$$N_{cr} = \left(\frac{2\pi}{a}\right)^2 D \left[1 - \frac{D \left(\frac{2\pi}{a}\right)^2}{KA_{55} + D \left(\frac{2\pi}{a}\right)^2}\right]$$

دیدیم می‌شود که در شرایط $\frac{a}{h} \ll 10$ برای تکیه‌گاه ساده و $\frac{a}{h} \ll 20$ برای تکیه‌گاه گردار اثر تغییر شکل برشی قابل ملاحظه می‌شود.

6.5-4 vibration

برای بررسی ارتعاشات ورق استوانه‌ای کامب در نظر بگیریم:

$$w_0(x, t) = W(x)e^{i\omega t}, \quad \phi_x(x, t) = \mathcal{X}(x)e^{i\omega t}, \quad i = \sqrt{-1}$$

که با فرکانس طبیعی و شکل مودهای ارتعاشات هستند.

$$D \frac{d^2 \mathcal{X}}{dx^2} - K A_{55} \left(\frac{dW}{dx} + \mathcal{X} \right) + I_2 \omega^2 \mathcal{X} = 0$$

$$K A_{55} \left(\frac{d^2 W}{dx^2} + \frac{d\mathcal{X}}{dx} \right) + I_0 \omega^2 W = 0$$

(6.5-13)

$$\Rightarrow p \frac{d^4 W}{dx^4} + q \frac{d^2 W}{dx^2} - r W = 0$$

(6.5-14)

$$p = D, \quad q = \frac{I_0 D}{K A_{55}} \omega^2, \quad r = I_0 \omega^2$$

که در آن
(6.5-15)

جواب این معادله چنین است

$$W(x) = c_1 \sin \lambda x + c_2 \cos \lambda x + c_3 \sinh \mu x + c_4 \cosh \mu x$$

(6.5-16)

$$\lambda = \sqrt{\frac{1}{2p} \left(q + \sqrt{q^2 + 4pr} \right)}, \quad \mu = \sqrt{\frac{1}{2p} \left(-q + \sqrt{q^2 + 4pr} \right)} \quad (6.5-17)$$

باکمی مرتب سازی داریم

$$(\omega^2)_1 = \frac{1}{2P} \left(Q - \sqrt{Q^2 - 4PR} \right), \quad (\omega^2)_2 = \frac{1}{2P} \left(Q + \sqrt{Q^2 - 4PR} \right) \quad (6.5-18)$$

که در آن

$$P = \frac{I_2}{KA_{55}}, \quad Q = \left[1 + \left(\frac{D}{KA_{55}} + \frac{I_2}{I_0} \right) \lambda^2 \right], \quad R = \left(\frac{D}{I_0} \right) \lambda^4 \quad (6.5-19)$$

آراییزی دوران مرفق شود ($p=0$) داریم:

$$\omega^2 = \frac{\bar{Q}}{R}, \quad \bar{Q} = \left[1 + \left(\frac{D}{KA_{55}} \right) \lambda^2 \right], \quad R = \left(\frac{D}{I_0} \right) \lambda^4 \quad (6.5-20)$$

مثال : ورق استوانه‌ای با دو تکیه گاه ساده

$$c_2 = c_3 = c_4 = 0$$

and

$$\sin \lambda a = 0, \text{ or } \lambda_n = \frac{n\pi}{a}$$

با قرار دادن λ_n در (18-6.5) فرکانس طبیعی بدست می‌آید.

آر ایزمی دورانی قابل صرف نظر باشد:

$$\omega_n = \left(\frac{n\pi}{a}\right)^2 \sqrt{\frac{D}{I_0}} \sqrt{\frac{KA_{55}}{KA_{55} + \left(\frac{n\pi}{a}\right)^2 D}}$$

$$A_{55} = G_{13} = \infty$$

اگر بنوعی اثر تغییر شکل برشی را صرف نظر کنیم کافیست

$$\omega_n = \left(\frac{n\pi}{a}\right)^2 \sqrt{\frac{D}{I_0}}$$

که همان فرکانس طبیعی CLPT است.

دیدیم می‌شود که با در نظر گرفتن اثر تغییر شکل برشی، فرکانس طبیعی کاهش می‌یابد.